3.1. Математический аппарат Алгебры больших сигнатур

«Сколько раз ни брось кубики с буквами, хоть миллионы раз, – стихи не получаются. Вселенная сложнее стихов – случайно ли Она возникла?» (Цицерон) «Воистину есть Б-Г Великий, Вечный, без КОТОРОГО ничто не может существовать.» (так завершил свой великий труд по классификации растений Карл Линней)

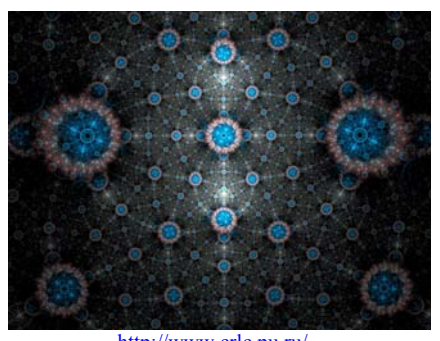
3.1.1. Основные положения свето-геометрии вакуума

Основные идеи и математический аппарат Алгебры сигнатур (Алсигны) были изложены в красной Алсигне «Проект» [6], оранжевой Алсигне «ИМЕНА» [7], желтой Алсигне «Пустота» [8] и зеленой Алсигне «Частицы» [9]. Все эти книги можно найти на сайте www.alsignat.narod.ru.

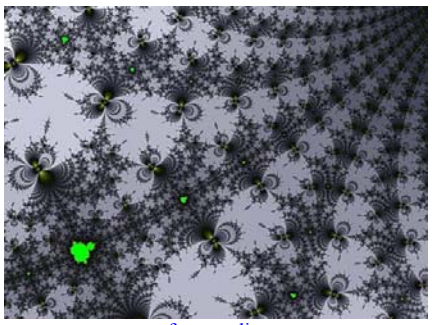
Для удобства ссылок приведем некоторые основные положения данной программы исследований.

Прежде всего, напомним о представлениях Алсигны в отношении окружающей нас Естественной протяженности. То, что Наука приучила подразумевать под пустым пространством, в рамках Алсигны представляется бесконечно сложной, живой Сущностью.

Эта протяженная Сущность пронизана множеством разноуровневых «нервных» волокон (см. рис. 3.1.1), соединяющих уснувшие (пассивные) и репродуктивные (размножающиеся) центры различных масштабов Бытия.

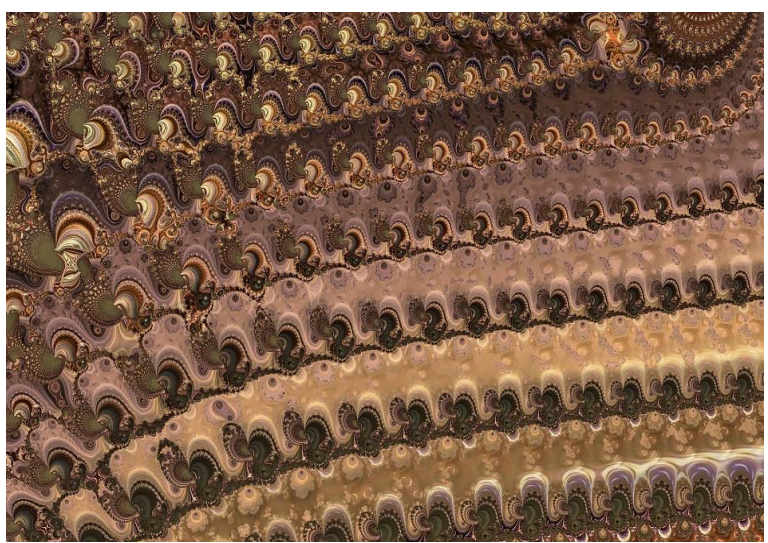


http://www.crlc.pu.ru/
Рис. 3.1.1. «Нервные» волокна
Живой протяженности окружающего
нас пространства



www.fractopolis.com Ткань Естества

Протяженность самого плотного уровня Духовности (*Басар* – плоть) Алсигна условно называет вакуумом (вместилищем Ума).



www.fractal-recursions.com



www.fractal-recursions.com

Фрактальные иллюстрации многослойной и многоуровневой ткани Живого Естества

Плотный вакуум фрактально повторяет структуры более тонких Духовных планов Единого Бытия ($He\phiem, Pyax, Hemema, Xan, Exuda$), которые также сотканы из пассивных и репродуктивных сетей, но более высокого уровня организации, чувствительности, скорости восприятия и передачи информации.



http://copypast.ru/

Бесконечная глубина протяженного Бытия

В плотном вакууме (т. е. в самом грубом и отдаленном от ТВОРЦА слое Бытия) пассивными и репродуктивными центрами являются Вселенные, Галактики, Звезды, Планеты, Организмы, биологические Клетки, Атомы, элементарные Частицы, Партоны и другие более мелкие локальные вакуумные образования.

Все эти центры Жизни — это либо на время уснувшие зерна (зиготы), либо распускающиеся цветы, либо созревающие или увя-

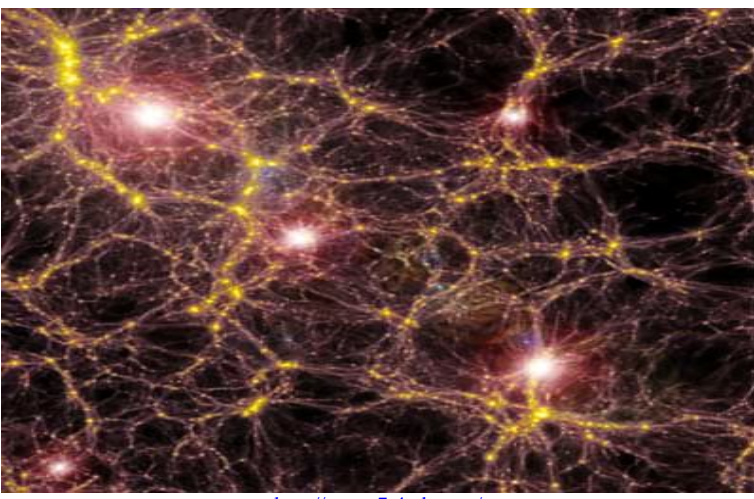


http://www.fractal-recursions.com/

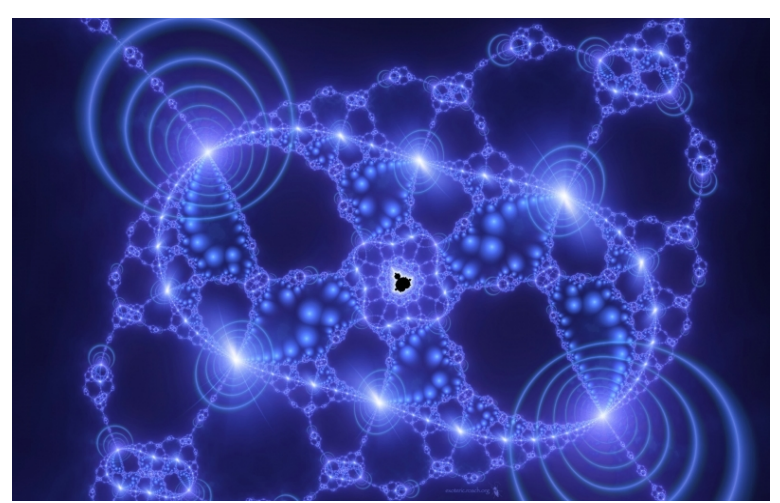
дающие плоды постоянно нарождающейся и одновременно стареющей Природы. Все эти разноуровневые сети плотного Естества — это ткани Единого Самовоспроизводящегося Организма, в котором постоянно совершаются циклы Великого Таинства соединения Мужского и Женского НАЧАЛ, коренящихся в Древних и Грозных глубинах Исходного БЫТИЯ.



Соединение Начал



http://www.7-4udes.net/



http://www.horoshovsem.ru/

Ткань Живого Естества на различных уровнях рассмотрения и восприятия



www fractal-recursions com



www.fractal-recursions.com

Фрактальные иллюстрации тканей Живого Естества

Однако как только наше сознание набрасывает на это витиеватое великолепие тканей Живого Бытия координатную сетку, тут же живая протяженность Естества напряженно замирает, как бы «лишается жизни».



Координатная сеть, умерщвляющая повсеместные проявления Живой Реальности

Мертвым мы называем то, к чему договорились относиться как к мертвому, тогда как нет ни единой былинки Естества, в которой бы не расплетались невообразимо сложные кружева ДУХА Жизни и не застывали леденящие узоры Дуновения Смерти.



www.fractal-recursions.com Кружева Жизни



http://copypast.ru/ Дуновение Смерти

Дифференциальная геометрия и другие разделы современной математики мгновенно умерщвляют все, с чем они соприкасаются в нашем сознании. Все книги по аналитической и динамической геометрии – это некро-

логи по протяженным тканям Живой Реальности. Это невероятно могущественное «сатанинское» свойство «точных» наук всегда беспокоило лучшие умы человечества.

Изучать явление гравитации, исключая из рассмотрения всю глубину и сложность протяженности Живого Естества, - это все равно, что рассматривать траекторию падения тела человека со скалы в море, совершенно не интересуясь его чувствами и грандиозной сложностью строения человеческого организма.



http://collayder.com/

Светская философия тщетно сопротивлялась омертвляющему Ужасу, надвигавшегося вместе с нарождающейся и бурно развивающейся Наукой. Только жесткий Еврейский Дух авраамических религий всегда неумолимо перемалывал все на своем Пути, возвращая все достижения человеческой мысли под величественные Своды Вселенского ХРАМА.

С другой стороны философия, оторванная от религиозной догматики, если не имеет математического фундамента, то неминуемо скатывается на демагогические или схоластические позиции. Математика придает человеческой мысли талмудическую логичность и лаконичность, остроту и глубину проникновения в структуру изучаемого предмета. Удивительное свойство математических формул содержать значительно больше информации, чем в них изначально закладывалось, вызывает чувство восхищения, граничащее с удовольствием от восприятия величайших произведений искусства.

Алсигна долго мучилась вопросами: «как избавиться от внутренней противоречивости математики?», «как направить математику на путь служения ИСТИНЕ?» Поиски Алсигны увенчались двумя находками:

1) Еврейское предание (Каббала) содержит учение об Именах Творящей ОСНОВЫ окружающего нас Бытия и, в частности, о взаимодействии Мужского и Женского Начал через бесконечные алгоритмы раскрытия Великих Имен ТВОРЦА א-ל-ה-י-ם (АДОНАЙ ЭЛОГ'ИМ). Некоторые открытые аспекты этого учения изложены в оранжевой Алсигне [7].

Алгебра сигнатур пытается развивать математический аппарат своей свето-геометрии по тем же алгоритмам, по которым раскрываются Имена ТВОРЦА (см. желтую Алсигну [8]).

Через взыскивание Имени ТВОРЦА в окружающих нас мирах Алсигна старается исполнить Заповедь ТОРЫ (Ръэ, 8:5): «За Заповедь ТОСПОДОМ ВСЕСИЛЬНЫМ Вашим) идите, и ЕГО бойтесь, и Заповеди ЕГО соблюдайте, и Голоса ЕГО слушайтесь, и ЕМУ служите, и к НЕМУ прилепитесь».

К сожалению, вырвавшись из одного кольца противоречий, Алсигна попадает в другую значительно более конфликтную ситуацию. Еврейский вопрос – это совсем другой уровень противостояния Добра и зла. Опираясь на тайное еврейское учение, Алсигна рискует оказаться под мантией тех, кто заблудился в залах Верхних Покоев, или тех, кто возводит «Быка» на трон из слоновой кости.

По всей видимости, в этом мире не существует возможности выйти за пределы контура, окаймленного драконом, гоняющимся за своим хвостом. Разорвать этот порочный круг означает отделить Истину от лжи, а это атрибут принадлежности совсем другому уровню Реальности (Миру Ацилут), на котором пребывал Адам Ришон (Первый Человек) до грехопадения.



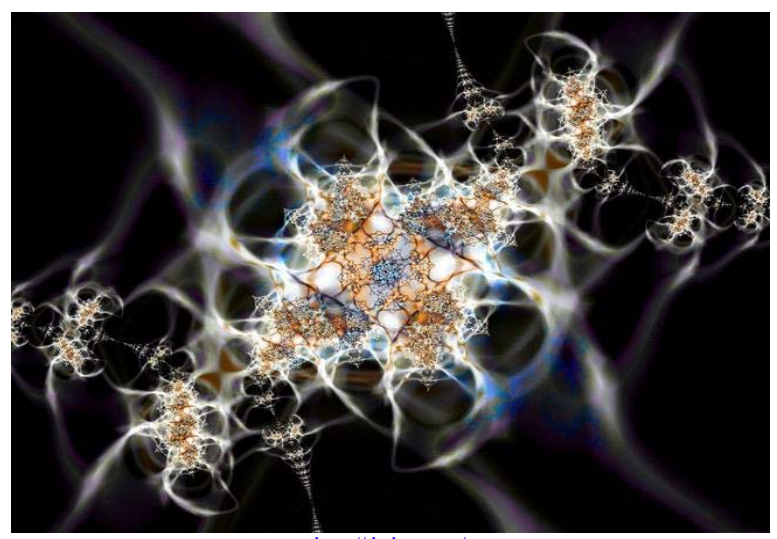
Тому, кто решит впустить Алсигну в глубины своего сознания, нужно знать, что она пытается идти за Тем, Кто воздвиг Истину на декартово перекрестие, окропив Алтарь Свободы от греха не кровью миллионов мирных жертв, а Своей Собственной царственной кровью.



<u>шр.//сопауцег.соп.</u> Ночь



http://faces.avtograd.ru/



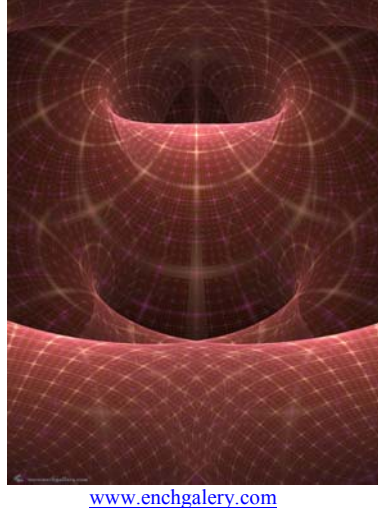
http://thebytes.ru/

Ненастье на небесах

2). Человек по воле Б-ЖЬЕЙ воспринимает протяженность окружающего мира в основном через глаза и уши посредством лучей света и звука. Алсигна так же в качестве инструмента изучения свойств метрико - динамических свойств естественной протяженности использует особенности распространения лучей света (или звука).

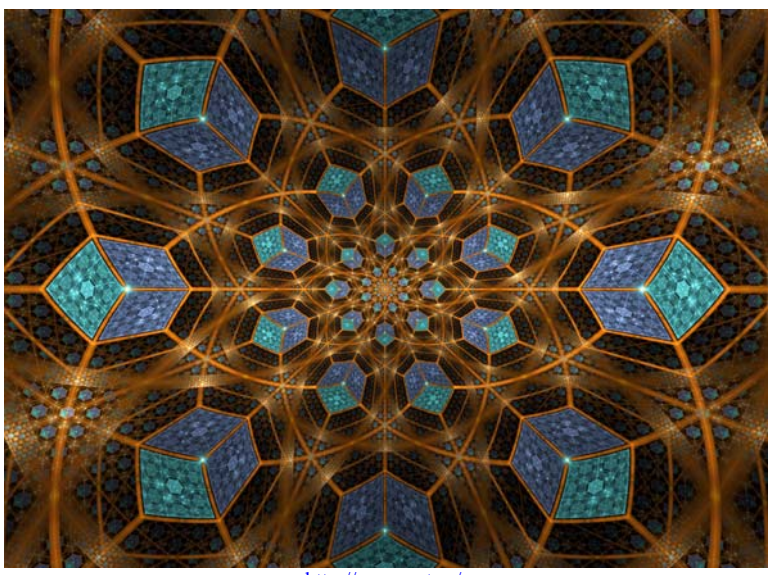
Зондируя естественную протяженность монохроматическими лучами света/звука с длиной волны λ_{m+n} из диапазона $\Delta \lambda = 10^m \div 10^n$ см Алсигна получает 3D-ландшафты (рис. 3.1.2), геодезическими линиями которых являются сами пробные лучи волновых возмущений. Такой 3D-ландшафт Алсигна условно называет λ_{m+n} -вакуумом.

Точно так же рассматриваемый объем естественной протяженности



 $\frac{\text{www.elcligately.com}}{\text{Рис. 3.1.2. Иллюстрация}}$ двухмерного среза 3D-ландшафта λ_{m+n} -вакуума

можно зондировать пробными лучами света/звука с другими длинами волн λ_{f+d} . При этом получается множество λ_{f+d} -вакуумов (см. п. 1.1.4 в [8]), вложенных друг в друга подобно матрешкам:



http://copypast.ru/

Данная операция позволяет Алсигне «осветить» всю толщу протяженности Естества (Вакуума), балансируя на перекрестии еврейской Каббалы и современных научных представлений:

«Добро»
$$I$$
 «Свет» «тьма» \equiv V H' (3.1.1)

Как было показано в [8] монохроматический луч света — это бесконечно сложная субстанция (как и подобает носителю свойств Высшего СВЕТА в самом нижнем из миров), которая допускает дискретный ряд возможностей понижения (редукции) ее сложности.

В самом примитивном случае (см. п. 1.2.12 в [8]) луч света состоит из прямой монохроматической волны со стигнатурой $\{+---\}$:

$$\exp\{i(\omega t - \mathbf{k} \cdot \mathbf{r})\} = \exp\{i(\omega t - k_1 x - k_2 y - k_3 z)\},\tag{3.1.2}$$

где k – волновой вектор, направление которого задает направление распространения волны, его модуль равен $|k| = 2\pi/\lambda$; и обратной монохроматической волны со стигнатурой $\{+---\}$:

$$\exp\{-i(\omega t - k \cdot r)\} = \exp\{i(-\omega t + k_1 x + k_2 y + k_3 z)\}. \tag{3.1.3}$$

На следующем уровне сложности каждая из монохроматических волн (3.1.2) и (3.1.3) представляется в виде мультипликативной суперпозиции семи комплексных экспонент {см. (1.2.77) в [8]}:

$$\exp \left\{ i (k_0 x_0 - k_1 x_1 - k_2 x_2 - k_3 x_3) \right\} = \exp \left\{ i (k_0 x_0 + k_1 x_1 + k_2 x_2 + k_3 x_3) \right\} \times \\ \times \exp \left\{ i (-k_0 x_0 - k_1 x_1 - k_2 x_2 + k_3 x_3) \right\} \times \\ \times \exp \left\{ i (k_0 x_0 - k_1 x_1 - k_2 x_2 + k_3 x_3) \right\} \times \\ \times \exp \left\{ i (-k_0 x_0 - k_1 x_1 + k_2 x_2 - k_3 x_3) \right\} \times \\ \times \exp \left\{ i (k_0 x_0 + k_1 x_1 - k_2 x_2 - k_3 x_3) \right\} \times \\ \times \exp \left\{ i (-k_0 x_0 + k_1 x_1 - k_2 x_2 - k_3 x_3) \right\} \times \\ \times \exp \left\{ i (k_0 x_0 - k_1 x_1 + k_2 x_2 - k_3 x_3) \right\} \times \\ \times \exp \left\{ i (k_0 x_0 - k_1 x_1 + k_2 x_2 - k_3 x_3) \right\} ,$$

$$\times \exp \left\{ i (k_0 x_0 - k_1 x_1 + k_2 x_2 - k_3 x_3) \right\} ,$$

$$\exp\{i\left(-k_{0}x_{0}+k_{1}x_{1}+k_{2}x_{2}+k_{3}x_{3}\right)\} = \exp\{-i\left(k_{0}x_{0}+k_{1}x_{1}+k_{2}x_{2}+k_{3}x_{3}\right)\} \times \\ \times \exp\{-i\left(-k_{0}x_{0}-k_{1}x_{1}-k_{2}x_{2}+k_{3}x_{3}\right)\} \times \\ \times \exp\{-i\left(k_{0}x_{0}-k_{1}x_{1}-k_{2}x_{2}+k_{3}x_{3}\right)\} \times \\ \times \exp\{-i\left(-k_{0}x_{0}-k_{1}x_{1}+k_{2}x_{2}-k_{3}x_{3}\right)\} \times \\ \times \exp\{-i\left(k_{0}x_{0}+k_{1}x_{1}-k_{2}x_{2}-k_{3}x_{3}\right)\} \times \\ \times \exp\{-i\left(k_{0}x_{0}+k_{1}x_{1}-k_{2}x_{2}-k_{3}x_{3}\right)\} \times \\ \times \exp\{-i\left(k_{0}x_{0}-k_{1}x_{1}+k_{2}x_{2}-k_{3}x_{3}\right)\},$$
(3.1.5)

где в смысле «цветов» квантовой хромодинамики:

$$\exp \left\{ i \left(k_0 x_0 + k_1 x_1 + k_2 x_2 + k_3 x_3 \right) \right\} - \text{красный фотон, со стигнатурой } \\ \left\{ + + + + \right\} \\ \exp \left\{ i \left(- k_0 x_0 - k_1 x_1 - k_2 x_2 + k_3 x_3 \right) \right\} - \text{оранжевый фотон, со стигнатурой } \\ \left\{ - - - + \right\} \\ \exp \left\{ i \left(k_0 x_0 - k_1 x_1 - k_2 x_2 + k_3 x_3 \right) \right\} - \text{желтый фотон, со стигнатурой } \\ \left\{ + - - + \right\} \\ \exp \left\{ i \left(- k_0 x_0 - k_1 x_1 + k_2 x_2 - k_3 x_3 \right) \right\} - \text{зеленый фотон, со стигнатурой } \\ \left\{ - - + - \right\} \\ \exp \left\{ i \left(k_0 x_0 + k_1 x_1 - k_2 x_2 - k_3 x_3 \right) \right\} - \text{голубой фотон, со стигнатурой } \\ \left\{ + + - - \right\} \\ \exp \left\{ i \left(k_0 x_0 + k_1 x_1 - k_2 x_2 - k_3 x_3 \right) \right\} - \text{синий фотон, со стигнатурой } \\ \left\{ - + - - \right\} \\ \exp \left\{ i \left(k_0 x_0 - k_1 x_1 + k_2 x_2 - k_3 x_3 \right) \right\} - \text{фиолетовый фотон, со стигнатурой } \\ \left\{ + - + - \right\} \\$$

$$\exp \{i (k_0x_0 - k_1x_1 - k_2x_2 - k_3x_3)\}$$
 — прямой фотон, со стигнатурой $\{+ - - -\}$ (3.1.6)

$$\exp \left\{ i \left(-k_0 x_0 - k_1 x_1 - k_2 x_2 - k_3 x_3 \right) \right\} -$$
антикрасный фотон, со стигнатурой
$$\left\{ ---- \right\}$$

$$\exp \left\{ i \left(+k_0 x_0 + k_1 x_1 + k_2 x_2 - k_3 x_3 \right) \right\} -$$
антиоранжевый фотон, со стигнатурой
$$\left\{ +++- \right\}$$

$$\exp \left\{ i \left(-k_0 x_0 + k_1 x_1 + k_2 x_2 - k_3 x_3 \right) \right\} -$$
антижелтый фотон, со стигнатурой
$$\left\{ -++- \right\}$$

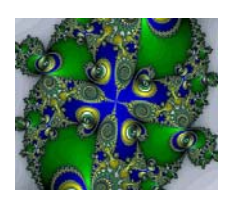
$$\exp \left\{ i \left(k_0 x_0 + k_1 x_1 - k_2 x_2 + k_3 x_3 \right) \right\} -$$
антизеленый фотон, со стигнатурой
$$\left\{ ++-+ \right\}$$

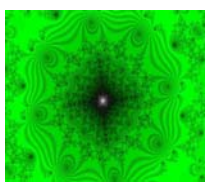
$$\exp \left\{ i \left(-k_0 x_0 - k_1 x_1 + k_2 x_2 + k_3 x_3 \right) \right\} -$$
антиголубой фотон, со стигнатурой
$$\left\{ --++ \right\}$$

$$\exp \left\{ i \left(k_0 x_0 - k_1 x_1 + k_2 x_2 + k_3 x_3 \right) \right\} -$$
антисиний фотон, со стигнатурой
$$\left\{ +-++ \right\}$$

$$\exp \left\{ i \left(-k_0 x_0 + k_1 x_1 - k_2 x_2 + k_3 x_3 \right) \right\} -$$
антифиолетовый фотон, со стигнатурой
$$\left\{ --+-+ \right\}$$

$$\exp \{i (-k_0x_0 + k_1x_1 + k_2x_2 + k_3x_3)\}$$
 – обратный фотон, со стигнатурой $\{-+++\}$ (3.1.7)





Эквивалентные ранжирные записи выражений (3.1.5) и (3.1.4) имеют соответственно следующий вид [8]:

где умножение знаков в числителях ранжиров (3.1.8) и (3.1.9) осуществляется по столбцам, а результат такого умножения записывается в знаменатель того же столбца.

При зондировании естественной протяженности сигналами вида (3.1.4) и (3.1.5) метрика, исследуемой области $\lambda_{m:n}$ -вакуума, задается суперпозицией шестнадцати интервалов с соответствующими сигнатурами (см. п. 1.2.10.2 в [8]):

$$ds_{\Sigma}^{2} = ds^{(+--)2} + ds^{(+++)2} + ds^{(--+)2} + ds^{(+--)2} + ds^{(+--)2} + ds^{(-+-)2} + ds^{(-++-)2} + ds^{(-++-)2} + ds^{(-++-)2} + ds^{(-+-)2} + ds^{(-+-)2} = 0.$$
(3.1.10)

Эквивалентная ранжирная запись данного выражения имеет вид $\{cm. выражение (1.2.54) в [8]\}$:

В ранжирах (3.1.11) знаки просуммированы как по столбцам, так и по строчкам, в рамках Алсигны данная операция называется «расщеплением нуля», и, по сути, является ультеральным вакуумным условием.



 $\underline{www.fractal\text{-}recursions.com}$



www.fractal-recursions.com

Фрактальные иллюстрации различных участков ткани Естества на ультеральном уровне рассмотрения Алсигны



www.fractal-recursions.com



 $\underline{www.fractal\text{-}recursions.com}$

Фрактальные иллюстрации различных участков ткани Естества на ультеральном уровне рассмотрения Алсигны



www.fractal-recursions.com



www.fractal-recursions.com

Фрактальные иллюстрации различных участков ткани Естества на ультеральном уровне рассмотрения Алсигны

Замкнутую систему рассмотрения, основанную на зондировании вакуума суперпозицией «цветных» фотонов (3.1.6) и (3.1.7), Алсигна условно называет «ультеральным» уровнем рассмотрения.

Зондирование того же участка вакуума лучами света с $16^2 = 256$ -ю оттенками «цветного» сияния названо «инферальным» уровнем рассмотрения. Когда оттенков переливания пробных лучей света $16^3 = 4096$ — это «гигальный» уровень рассмотрения. Так может продолжаться до бесконечности (см. п. 1.2.13 в [8]), при этом картина мира будет «вырисовываться» все более красочной и многообразной.





http://img.yessy.com/

http://img.crazys.info/

Математический аппарат свето-геометрии вакуума пригоден как для Алгебры малых сигнатур [9], так и для Алгебры больших сигнатур, развиваемой в настоящей работе. В связи с этим ниже для удобства ссылок отчасти повторяются материалы п. 2.1.1 зеленой Алсигны [8].

В рамках ультерального уровня рассмотрения (который будет доминировать в данной части Алсигны) искривленное состояние исследуемого участка λ_{m+n} -вакуума описывается следующей синтезированной ультраметрикой {см. (1.3.33) - (1.3.34) в зеленой Алсигне [8]}:

$$ds_{\Sigma}^{2} = \sum_{p=1}^{16} c_{ij}^{(p)} dx_{i} dx_{j} = c_{ij}^{(1)} dx_{i} dx_{j} + c_{ij}^{(2)} dx_{i} dx_{j} + c_{ij}^{(3)} dx_{i} dx_{j} + c_{ij}^{(4)} dx_{i} dx_{j} + c_{ij}^{(4)} dx_{i} dx_{j} + c_{ij}^{(5)} dx_{i} dx_{j} + c_{ij}^{(6)} dx_{i} dx_{j} + c_{ij}^{(7)} dx_{i} dx_{j} + c_{ij}^{(8)} dx_{i} dx_{j} + c_{ij}^{(9)} dx_{i} dx_{j} + c_{ij}^{(10)} dx_{i} dx_{j} + c_{ij}^{(11)} dx_{i} dx_{j} + c_{ij}^{(12)} dx_{i} dx_{j} + c_{ij}^{(15)} dx_{i} dx_{j} + c_{ij}^{(15)} dx_{i} dx_{j} + c_{ij}^{(16)} dx_{i} dx_{j} = 0,$$

$$(3.1.12)$$

$$c_{ij}^{(p)} = \begin{pmatrix} c_{00}^{(p)} & c_{10}^{(p)} & c_{20}^{(p)} & c_{30}^{(p)} \\ c_{01}^{(p)} & c_{11}^{(p)} & c_{21}^{(p)} & c_{31}^{(p)} \\ c_{02}^{(p)} & c_{12}^{(p)} & c_{22}^{(p)} & c_{32}^{(p)} \\ c_{03}^{(p)} & c_{13}^{(p)} & c_{23}^{(p)} & c_{33}^{(p)} \end{pmatrix}$$
(3.1.13)

– усредненный ультраметрический тензор p-го ультерального метрического 4-пространства (т. е. 4-карты шестнадцатилистного ультерального атласа) с соответствующей сигнатурой из следующей матрицы {см. выражение (1.3.31) в [8]}:

Синтезированный интервал (3.1.12) удивительным образом во многих аспектах соответствует одному из вариантов раскрытия каболистического Древа Сфирот (см. п. 0.20 в [7]). Во-первых, матрица сигнатур

$$\begin{pmatrix} \{++\} & \{+-\} \\ \{-+\} & \{--\} \end{pmatrix}^{2} = \begin{pmatrix} (++++) & (+++-) & (-++-) & (++-+) \\ (---+) & (-+++) & (--++) & (-+-+) \\ (+--+) & (++--) & (+---) & (+-++) \\ (--+-) & (+-+-) & (----) \end{pmatrix} = \begin{pmatrix} II & HI & VI & H'I \\ IH & HH & VH & H'H \\ IV & HV & VV & H'V \\ IH' & HH' & VH' & H'H' \end{pmatrix}$$

$$(3.1.15)$$

и ультраметрические тензоры

$$c_{ij}^{(p)} = \begin{pmatrix} c_{00}^{(p)} & c_{10}^{(p)} & c_{20}^{(p)} & c_{30}^{(p)} \\ c_{01}^{(p)} & c_{11}^{(p)} & c_{21}^{(p)} & c_{31}^{(p)} \\ c_{02}^{(p)} & c_{12}^{(p)} & c_{22}^{(p)} & c_{32}^{(p)} \\ c_{03}^{(p)} & c_{13}^{(p)} & c_{23}^{(p)} & c_{33}^{(p)} \end{pmatrix} = \begin{pmatrix} II & HI & VI & H'I \\ IH & HH & VH & H'H \\ IV & HV & VV & H'V \\ IH' & HH' & VH' & H'H' \end{pmatrix} = \begin{pmatrix} \kappa o u & V_1 & V_5 & V_6 \\ V_{-1} & I & V_2 & V_4 \\ V_{-4} & V_{-2} & H & V_3 \\ V_{-6} & V_{-5} & V_{-3} & H' \end{pmatrix}$$

$$(3.1.16)$$

соответствуют раскрытию бинарно-перекрестной записи Непроизносимого Имени ТВОРЦА (см. пп. 0.9 и 0.10 в [7])

$$\begin{pmatrix} I & H \\ H' & V \end{pmatrix}^{2} = \begin{pmatrix} I & H \\ H' & V \end{pmatrix} \begin{pmatrix} I & H \\ H' & V \end{pmatrix} = \begin{pmatrix} I \begin{pmatrix} I & H \\ H' & V \end{pmatrix} & H \begin{pmatrix} I & H \\ H' & V \end{pmatrix} \\ H' \begin{pmatrix} I & H \\ H' & V \end{pmatrix} & V \begin{pmatrix} I & H \\ H' & V \end{pmatrix} = \begin{pmatrix} II & IH \\ IH' & IV \end{pmatrix} & \begin{pmatrix} HI & HH \\ HH' & HV \end{pmatrix} \\ \begin{pmatrix} HI & HH \\ H'H' & H'V \end{pmatrix} & \begin{pmatrix} VI & VH \\ VH' & VV \end{pmatrix},$$

$$(3.1.17)$$

где

Во-вторых, интервал (3.1.12) обладает возможностью раскрытия до бесконечности (см. п. 1.2.13 в [8]) в полном соответствии с одним из алгоритмов «разрастания» Древа Сфирот (см. п. 0.6 в [8]).

Если полагать, что выражение (3.1.12) не равно нулю

$$ds_{\Sigma}^{2} = \sum_{p=1}^{16} c_{ij}^{(p)} dx_{i} dx_{j} = c_{ij}^{(1)} dx_{i} dx_{j} + c_{ij}^{(2)} dx_{i} dx_{j} + c_{ij}^{(3)} dx_{i} dx_{j} + c_{ij}^{(4)} dx_{i} dx_{j} + c_{ij}^{(4)} dx_{i} dx_{j} + c_{ij}^{(5)} dx_{i} dx_{j} + c_{ij}^{(6)} dx_{i} dx_{j} + c_{ij}^{(7)} dx_{i} dx_{j} + c_{ij}^{(8)} dx_{i} dx_{j} + c_{ij}^{(9)} dx_{i} dx_{j} + c_{ij}^{(10)} dx_{i} dx_{j} + c_{ij}^{(11)} dx_{i} dx_{j} + c_{ij}^{(12)} dx_{i} dx_{j} + c_{ij}^{(13)} dx_{i} dx_{j} + c_{ij}^{(13)} dx_{i} dx_{j} + c_{ij}^{(15)} dx_{i} dx_{j} + c_{ij}^{(16)} dx_{i} dx_{j},$$

$$(3.1.19)$$

то при определенных условиях все его 16 слагаемых оказываются линейно независимыми величинами. В этом случае можно утверждать, что выражение (3.1.19) определяет квадрат элемента длины в ультеральном $4\times16=64$ -мерном пространстве. Каждая пара ультраметрик $c_{ij}^{(p)}dx_idx_j$ с взаимно противоположными сигнатурами может быть представлена в виде суперпозиции 7+7=14 еще более глубинных инфраметрик (см. п. 1.2.13 в [8]). В этом случае метрика ds_{Σ}^2 оказывается элементом длины уже $8\times14\times4=448$ -мерного пространства. Таким же образом можно продолжать наращивание числа измерений до бесконечности. В желтой Алсигне эта процедура была названа «взрывом измерений» (см. п. 1.2.14 в [8]).



http://www.horoshovsem.ru/

Обратный алгоритм позволяет сворачивать (компактифицировать) бесконечное, но дискретное число измерений до 4 + 4 = 8-ми (или 4 - 4 = 0).

В рамках Алсигны предельный уровень компактификации дополнительных измерений приводит к представлениям о двухсторонней протяженности λ_{m+n} -вакуума. В этом максимально упрощенном случае участок внешней стороны λ_{m+n} -вакуума описывается метрикой $ds^{(-)2}$ с сигнатурой (+---), синтезированной из 7-ми ультраметрик с сигнатурами, входящими в числитель левого ранжира (3.1.11) [8]:

$$ds^{(-)2} = ds^{(---)2} + ds^{(++-)2} + ds^{(-+-)2} + ds^{(+-+)2} +$$

$$+ ds^{(--+)2} + ds^{(+-+)2} + ds^{(-+-)2} = g_{ij}^{(-)} dx_i dx_j,$$
(3.1.20)

где

$$g_{ij}^{(-)} = \begin{pmatrix} g_{00}^{(-)} & g_{10}^{(-)} & g_{20}^{(-)} & g_{30}^{(-)} \\ g_{01}^{(-)} & g_{11}^{(-)} & g_{21}^{(-)} & g_{31}^{(-)} \\ g_{02}^{(-)} & g_{12}^{(-)} & g_{22}^{(-)} & g_{31}^{(-)} \\ g_{03}^{(-)} & g_{13}^{(-)} & g_{23}^{(-)} & g_{33}^{(-)} \end{pmatrix}$$
(3.1.21)

- компоненты внешнего метрического тензора (см. пп.1.2.10.3, 1.9.1 в [8]).

Внутренняя сторона того же участка λ_{m+n} -вакуума описывается метрикой $ds^{(+)2}$, синтезированной из 7-ми других ультраметрик с сигнатурами, входящими в числитель правого ранжира (3.1.11) [8]:

где

$$g_{ij}^{(+)} = \begin{pmatrix} g_{00}^{(+)} & g_{10}^{(+)} & g_{20}^{(+)} & g_{30}^{(+)} \\ g_{01}^{(+)} & g_{11}^{(+)} & g_{21}^{(+)} & g_{31}^{(+)} \\ g_{02}^{(+)} & g_{12}^{(+)} & g_{22}^{(+)} & g_{31}^{(+)} \\ g_{02}^{(+)} & g_{12}^{(+)} & g_{22}^{(+)} & g_{31}^{(+)} \\ g_{03}^{(+)} & g_{13}^{(+)} & g_{23}^{(+)} & g_{33}^{(+)} \end{pmatrix}$$

$$(3.1.23)$$

- компоненты *внутреннего* метрического тензора (см. пункт 1.2.10.3 и пункт 1.9.1 в [8]).

Эквивалентное ранжирное представление синтезированных метрик (3.1.20) и (3.1.22) имеет вид

$$(+ + + + +) \qquad (- - - -)$$

$$(- - - +) \qquad (+ + + -)$$

$$(+ - - +) \qquad (- + + -)$$

$$(- - + -) \qquad (+ + - +)$$

$$(+ + - -) \qquad (- - + +)$$

$$(- + - -) \qquad (+ - + +)$$

$$(+ - + -) \qquad (- + - +)$$

$$(+ - - -)_{+} \qquad (- + + +)_{+}$$

$$(3.1.24)$$

Здесь в знаменателе левого ранжира оказывается сигнатура пространства Минковского (+---), а в знаменателе правого ранжира – сигнатура антипространства Минковского (-+++).

Соединением шестнадцати ультраметрик (3.1.19)

$$ds^{(+--)2} + ds^{(---)2} + ds^{(++-)2} + ds^{(-++-)2} +$$

$$+ ds^{(++-+)2} + ds^{(--++)2} + ds^{(-+++)2} + ds^{(-+-+)2} +$$

$$+ ds^{(-+++)2} + ds^{(++++)2} + ds^{(--+)2} + ds^{(--++)2} +$$

$$+ ds^{(--+-)2} + ds^{(++--)2} + ds^{(--+-)2} + ds^{(--+-)2} = 0.$$
(3.1.25)

Алсигна исполняет Заповедь ТОРЫ «Цицит»: «И Сказал Г-СПОДЬ Моисею: Обратись к сынам Израиля и скажи им, чтобы они делали себе кисти (цицит) на краях одежд своих в роды их, и вплетали в каждую кисть (ци-

цит) голубую нить (тхелет). И она будет у вас в кисти (цицит), и, увидев ее, вы будете вспоминать все Заповеди Г-СПОДА и исполнять их; и не будете блуждать, влекомые сердцем и глазами, которые совращают вас. Чтобы помнили вы и исполняли все Заповеди МОИ и были святы перед вашим Б-ГОМ. Я Г-СПОДЬ Б-Г ваш, КОТОРЫЙ Вывел вас из земли египетской, чтобы быть вашим Б-ГОМ. Я, Г-СПОДЬ Б-Г ваш» (Числа, 15: 37-41). Евреи четыре раза в сутки (утром и вечером) повторяют эти

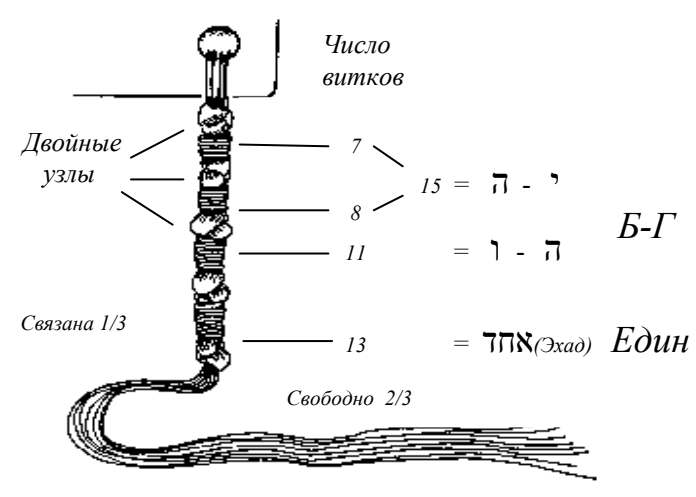


www.judaicaru.org
Рис. 3.1.3. Кисти (цицит),
прикрепленные к четырем
углам покрывала (талита)

строки ТОРЫ в молитве «Шма Исраэль!» (Слушай, Израиль!).

Цицит (кисти) прикрепляют к четырем углам (H'VHI) четырехугольного покрывала (талита) (см. рис. 3.1.3). Каждая из четырех кистей состоит из 4-х нитей (H'VHI). Одна из этих нитей значительно длинней оставшихся трех. ТОРА предписывает окрашивать длинную нить в цвет «тхелет» (в цвет морской волны или неба). Способ приготовления голубовато-изумрудной краски со временем был евреями утрачен, поэтому в наше время длинную нить, как правило, не окрашивают.

Некоторые раввины считают, что во времена Моше Рабейну (Моисея) голубую краску (тхелет) получали из жидкости, которую выделяют редкие морские моллюски тхелет. Внутри этих моллюсков есть две бесцветные жидкости. Но если такой моллюск раскрыть специальным образом, то эти две жидкости смешиваются, и получается голубая кровь (из-за пигмента гемоцианин, содержащего медь).



http://www.istok.ru/jews-n-world/

Рис. 3.1.4. Кисть (цицит), прикрепленная к одному из 4-х углов талита (четырехугольного покрывала)

Четыре нити протаскивают через отверстие в углу талита (см. рис. 3.1.3, рис. 3.1.4, и рис. 3.1.5). Затем складывают их вдвое, при этом получается восемь нитей, отходящих от угла талита, и переплетают их специальным образом, в котором сокрыты тайные смыслы ТОРЫ.



Рис. 3.1.5. Два варианта сплетения нитей (цицит):

- 1) без окраски длинной нити в голубой цвет;
- 2) с длинной голубой нитью (тхелет)

Общее число нитей, прикрепленных к четырем углам талита, равно $4 \times 4 = 16$ -ти нитей. Столько же метрик входит в суперпозицию (3.1.25).

Из 16-ти нитей четыре должны быть длинными и окрашенными в голубой цвет, что соответствует четырехбуквенному Имени ТВОРЦА π -1- π -7 (H'VHI — Тетраграмматон), а оставшиеся 16-4=12 нитей соответствуют двенадцати всевозможным комбинациям перестановок 4-х букв Тетраграмматона (см. n. 0.13 в [7]).

В идеальном случае совершенно неискаженного участка λ_{m+n} -вакуума пространство Минковского и антипространство Минковского удовлетворяют исходному вакуумному условию {cm. (1.2.61) в [8]}:

$$ds^{(+--)2} + ds^{(-+++)2} = (n_{ij}^{(-)} + n_{ij}^{(+)}) dx_i dx_j =$$

$$= (c^2 dt^2 - dx^2 - dy^2 - dz^2) + (-c^2 dt^2 + dx^2 + dy^2 + dz^2) = 0$$

с сигнатурой $(+---)+(-+++)=(0\ 0\ 0\ 0)$ (см. п. 1.2.10.4 в [8] и, в частности, рис. 3.1.6).

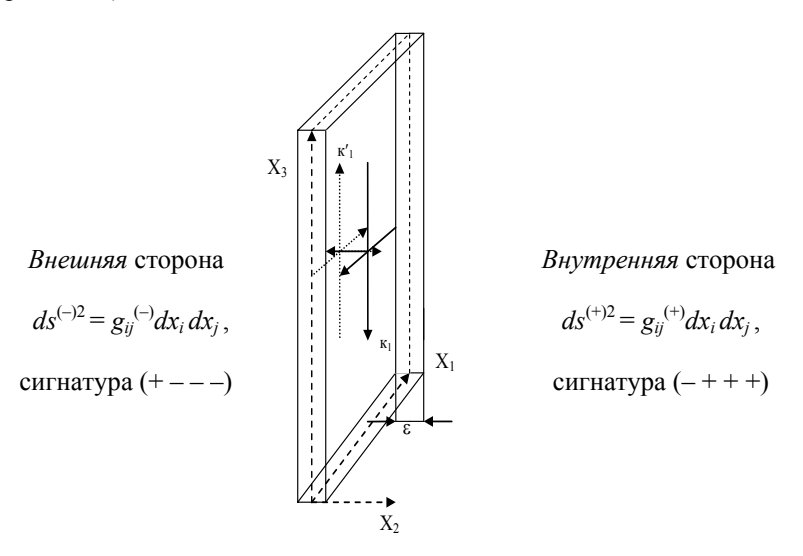


Рис. 3.1.6. Участок двухсторонней протяженности λ_{m+n} -вакуума, внешняя сторона которого описывается синтезированной метрикой $ds^{(-)2}$, а внутренняя сторона — синтезированной метрикой $ds^{(+)2}$

На рис. 3.1.6. условно показана некая толщина ε рассматриваемого участка λ_{m+n} -вакуума. На самом деле, в Алсигне рассматривается предельный случай $\varepsilon \to 0$. То есть синтезированные метрики $ds^{(-)2}$ и $ds^{(+)2}$ описы-

вают метрико-динамические свойства двух сторон практически одного и того же локального объема λ_{m+n} -вакуума. При этом усредненное метрико-динамическое состояние исследуемого участка λ_{m+n} -вакуума описывается усредненной метрикой {см. (1.9.10) в [8]}

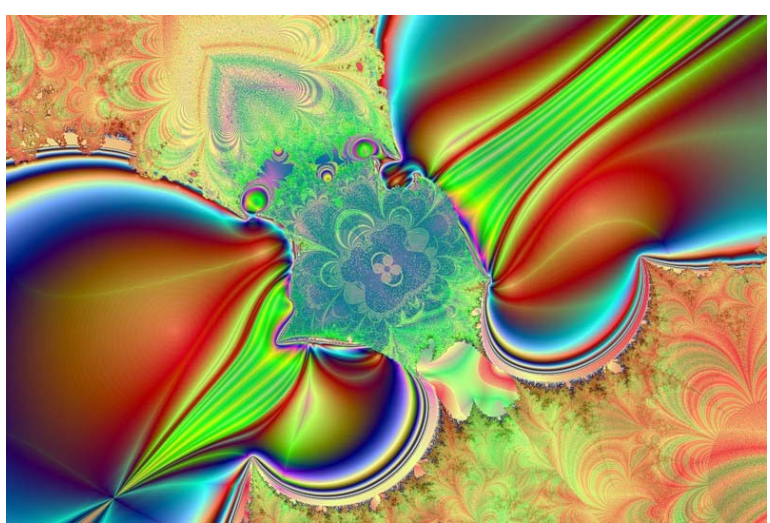
$$ds_{\Sigma}^{2} = \frac{1}{2}[ds^{(+--)2} + ds^{(-+++)2}] = \frac{1}{2}[ds^{(+)2} + ds^{(-)2}] = \frac{1}{2}[g_{ij}^{(+)} + g_{jj}^{(-)}] dx_{i} dx_{j}. \quad (3.1.26)$$

Если теперь данный лист искривить, то с одной его стороны элементы длины $ds^{(+)}$ несколько искривятся и растянутся, а соответствующие им перпендикулярные элементы длины другой стороны того же листа $ds^{(-)}$ останутся прежними. В этом случае $g_{\alpha\beta}^{\ \ \ \ \ } \neq -g_{\alpha\beta}^{\ \ \ \ \ \ \ } \neq 0$, что свидетельствует о наличии деформации.

Для определения места положения какого-либо тела в пространстве достаточно в качестве системы отсчета взять только одно метрическое пространство, например, пространство Минковского с сигнатурой (+---).

Если же исследуются метрико-динамические свойства самого пространства, то одностороннего рассмотрения явно не хватает, т. к. деформации одной из сторон любой реальной протяженности неминуемо сопровождаются перекрестно компенсирующими антидеформациями ее противоположной стороны. Это общее свойство вакуума, в котором любые локальные или глобальные отклонения от идеального исходного состояния одной его стороны неминуемо сопровождаются перекрестно - компенсационными антиотклонениями противоположной стороны.

Итак, за счет последовательной процедуры усреднения, которая в рамках Алсигны называется дискретной редукцией сложности, глубинные представления о бесконечномерной протяженности λ_{m+n} -вакуума в предельном случае сводятся к изучению метрико-динамических свойств двухстороннего, 4+4=8 - мерного пространства.

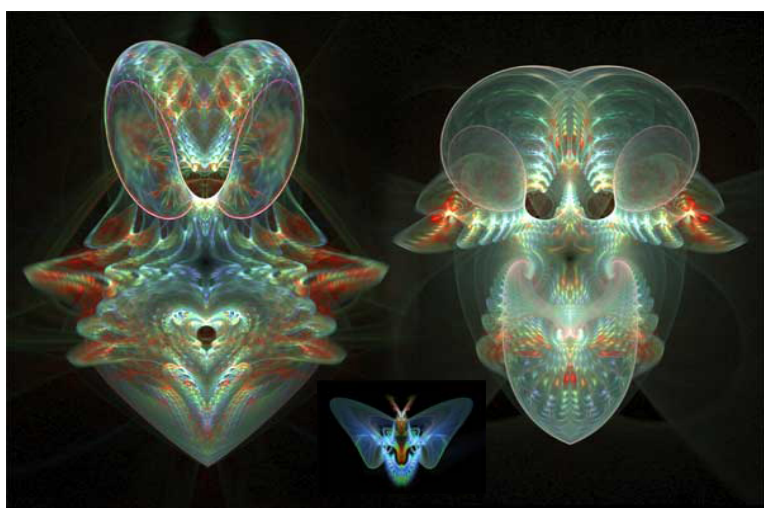


http://fotki.yandex.ru/



 $\underline{http://www.horoshovsem.ru/}$

Иллюстрации вакуумных деформаций на ультеральном и инферальном уровнях рассмотрения



 $\underline{http://content.foto.mail.ru/}$



http://content.foto.mail.ru/

Иллюстрации замкнутых вакуумных образований на *инферальном* уровне рассмотрения Алсигны